

# C0r0n@ 2 Inspect

Обзор и анализ научных статей, связанных с экспериментальными методиками и методами, используемыми в вакцинах против c0r0n@v|rus, доказательствами, ущербом, гипотезами, мнениями и проблемами.

**Среда, 20 октября 2021 г.**

**Выявление закономерностей в крови вакцинированных людей: неоднородные многослойные графеновые пятна или графеновые трещины**

Исследование и выявление закономерностей, наблюдаемых в образцах вакцин c0r0n @ v | rus, а также в образцах крови вакцинированных людей, являются приоритетными в этом блоге, поскольку они позволяют понять компоненты, которые были включены, а не заявлены, а также их эффекты, функции и цели. В этом случае был обнаружен рисунок рисунка 1, соответствующий анализу крови вакцинированного человека, изображение, представленное независимой группой немецких исследователей (Аксель Болланд; Бербель Гиталла; Хольгер Фишер; Эльмар Беккер), раскрытое в различных программах, таких как документальный фильм (Тим Трут. 2021), программа 119 Пятой колонны (Дельгадо, Р.; Севильяно, Дж. Л. 2021) и совсем недавно на научной пресс-конференции, состоявшейся 20 сентября в Институте патологии Ройтлингена (Буркхардт, А.; Ланг, В.; Берггольц, В. 2021). На первый взгляд наблюдается сеть, морфология которой не следует регулярному образцу, хотя ее макет во многих случаях имеет прямолинейные формы. Области, ограниченные узором сети, по-видимому, содержат очень мелкие частицы, которые трудно идентифицировать.



*Рис. 1. Трещины графена, обнаруженные в образцах крови вакцинированных людей. (Burkhardt, A. ; Lang, W. ; Берггольц, В. 2021)*

На изображении на самом деле показаны « трещины графена » (cracks graphene), но также называемые « неоднородными многослойными графеновыми пятнами ». Это явление возникает, когда несколько слоев графена накладываются друг на друга (один поверх другого) со структурными дефектами, что приводит к их растрескиванию или поднятию их краев, вызывая их частичную кристаллизацию. Таким образом, наблюдается появление каналов, которые разделяют четко определенные области (которые являются графеновыми пятнами), количество слоев которых может варьироваться по отношению к их соседним соседям. Это демонстрируется путем сравнения изображения образца с научной литературой, см. рисунок 2.

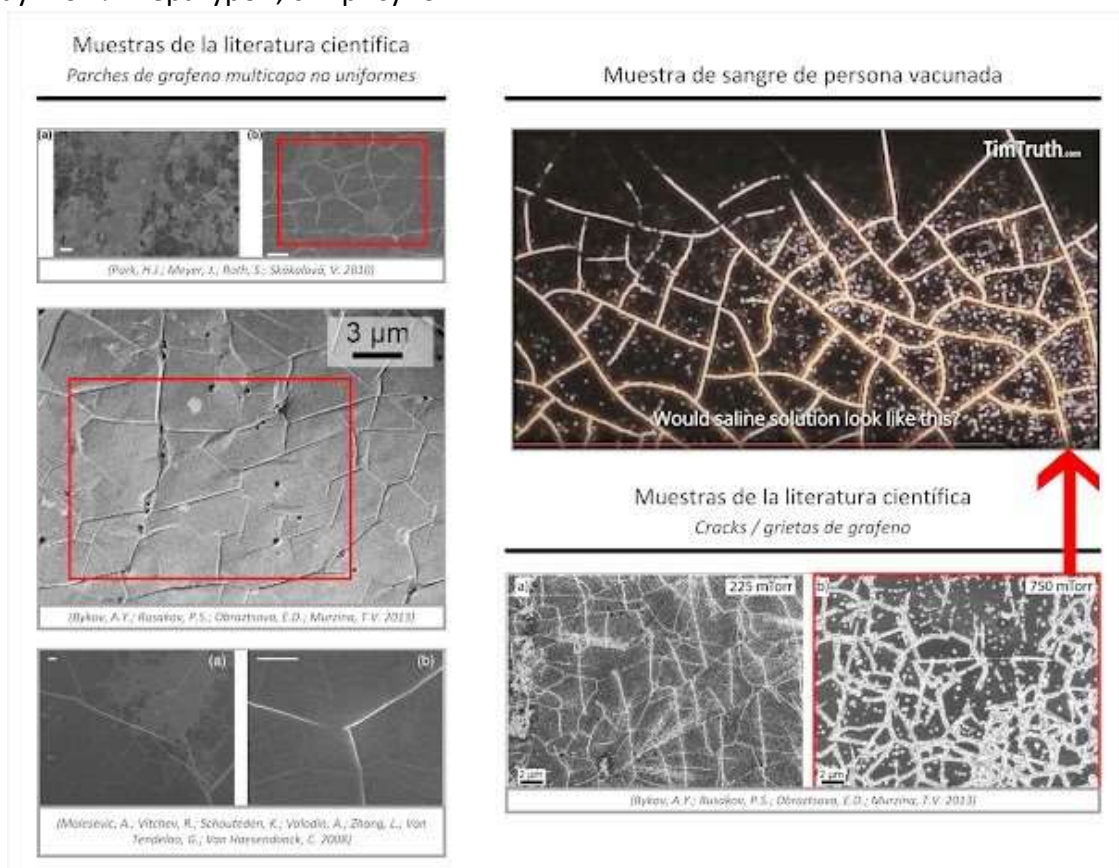


Рис. 2. В прямоугольниках слева показаны приподнятые края графеновых пятен, вызванные наложением нескольких слоев графена во время производственного процесса осаждения из паровой фазы. В нижнем правом прямоугольнике показаны явление растрескивания, вызванное дефектами при изготовлении графена. Обратите внимание, что также присутствует характерная пунктирность, что подтверждает, что это тот же случай.

## Неоднородные многослойные графеновые заплатки

Первое приближение к образцу, наблюдаемому на рисунке 1, представляет собой конфигурацию неоднородных многослойных графеновых пятен. В этом случае оптическая работа (Быков, А.Ю.; Русаков, П.С.; Образцова, Е.Д.; Мурзина, ТВ 2013) является поучительной при рассмотрении анализа различных образцов « неоднородного » многослойного графена и « различной толщины » с использованием различных методов оптической микроскопии. В своем введении они признают по крайней мере три фундаментальных свойства графена, а именно его взаимодействие с ближним ИК-диапазоном (Nair, RR; Blake, P.; Grigorenko, AN; Novoselov, KS; Booth, TJ; Stauber, T.; Geim, AK 2008), фотолюминесценцию Lui, CH; Mak, KF; Shan, J.; Heinz, TF 2010) и его сверхпроводящие и микроволновые поглощающие свойства в терагерцовом масштабе (Ju,

L. ; Geng, B. ; Horng, J. ; Girit, C. ; Martin, M. ; Hao, Z. ; Wang, F. 2011). Это отражено в следующем параграфе « В кристаллических многослойных материалах графен по-прежнему обладает рядом многообещающих электронных и оптических свойств, включая универсальное поглощение с постоянной тонкой структуры в видимом и ближнем инфракрасном диапазоне длин волн, комбинационное рассеяние света в графене, фотолюминесценцию и терагерцовую плазмонику ». С другой стороны, подтверждается, что кристаллизованная графеновая культура на рисунке 3 получена методами « химического осаждения из паровой фазы » (CVD), оправдывая себя как « масштабируемая технология производства графена » с наилучшей производительностью и наиболее вероятной для изготовления графена, обнаруженного в вакцинах.

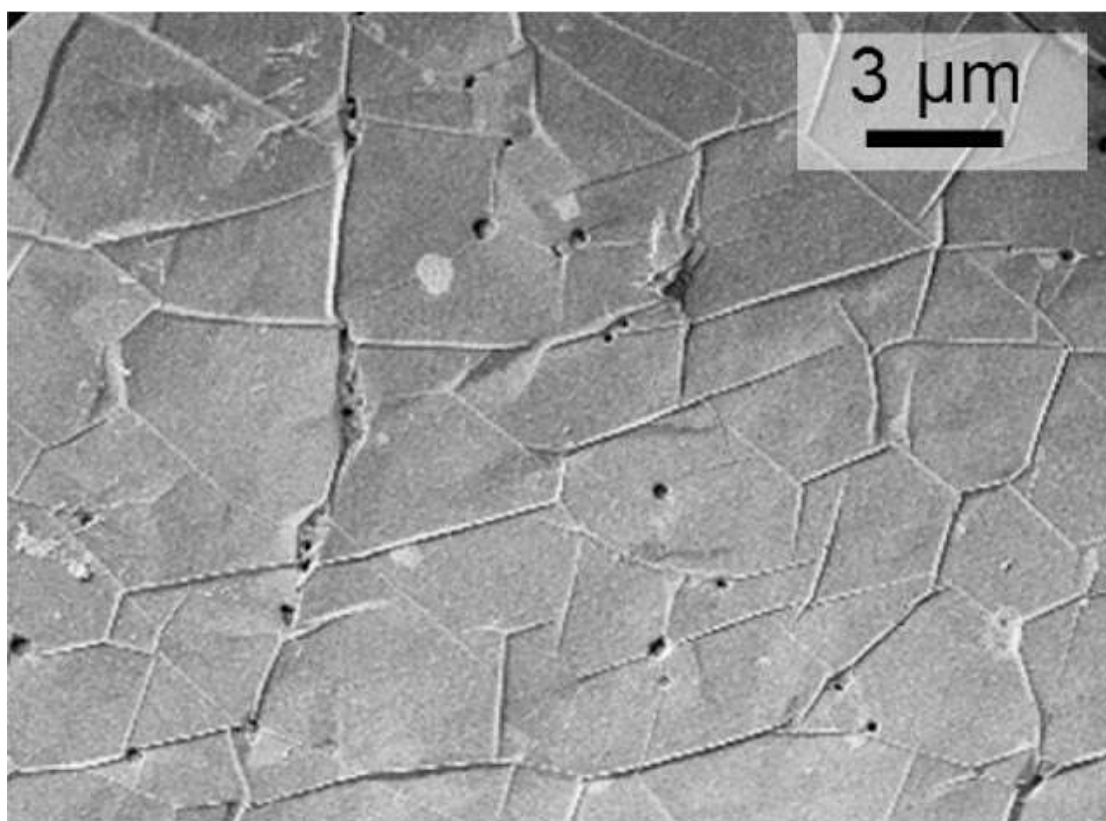


Рис. 3. СЭМ-изображение графеновой пленки, на котором наблюдаются кристаллизованные графеновые пластинки размером 1 мкм, разделенные морицинами, которые образуют характерные линии (от 200 до 400 нм), уже наблюдаемые в образце на рисунке 1.  
(Быков А.Ю.; Русаков П.С.; Образцова Е.Д.; Мурзина Т.В. 2013)

Другой пример можно найти в изображениях работы (Малесевич, А.; Витчев, Р.; Схоутеден, К. ; Володин, А.; Чжан, Л.; Ван Тенделу, Г.; Ван Хаезендонк, К. 2008) под названием « Синтез графена в нижних слоях с помощью химического осаждения из паровой фазы с улучшенной микроволновой плазмой », подтверждающее, что метод химического осаждения из газовой фазы является « простым и недорогим способом массового производства графена ». Он синтезируется в виде микрометрических чешуек из четырех-шести атомных слоев сложенных листов графена, « путем контролируемой рекомбинации углеродных радикалов в микроволновой плазме ». Это утверждение еще раз показывает взаимодействие микроволн с графеном очевидным и недвусмысленным образом, даже при его производстве.

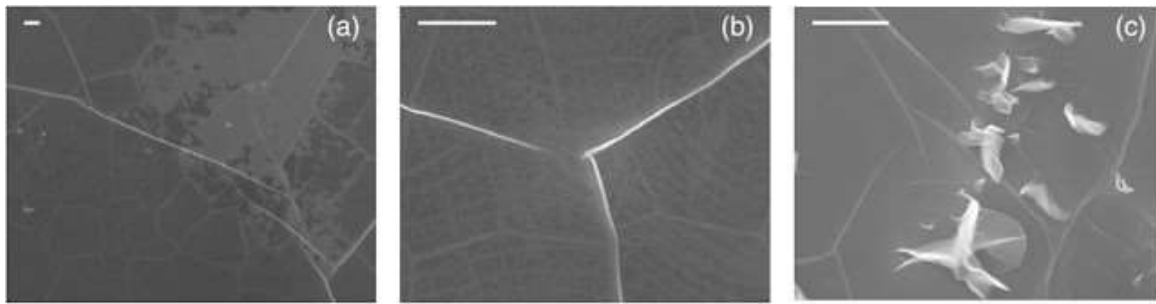


Рис. 4. Образование трещин в листе графена (Малесевич, А.; Витчев, Р.; Схоутеден, К.; Володин, А.; Чжан, Л.; Ван Тенделоо, Г.; Ван Хэзендонк, К. 2008 г.)

Синтез графена с несколькими слоями, также называемого «FLG» (Few layer graphene), состоит из трех фаз, согласно утверждению (Malesevic, A.; Vitchev, R.; Schouteden, K.; Volodin, A.; Zhang, L.; Van Tendeloo, G.; Van Haesendonck, C. 2008), которые являются следующими: а) Конформация базового слоя графита, который состоит из типичных трещин и неровностей, наблюдаемых на рисунке 4, что будет основой для роста графеновых пластинок; б) Изгиб краев графеновых пластинок, которые соответствуют точкам зарождения и роста графена; в) Накопление материала в точках зарождения. Этот метод производства графена не требует катализатора, он требует только материалов подложки (графит/углерод) и умеренно высоких температур (до 700°C для ускорения синтеза), хотя он также был продемонстрирован при более низких температурах (не менее 140°C), где рост продолжает происходить под воздействием электромагнитных факторов, например, как показано (Li, Z.; Wu, P.; Wang, C.; Fan, X.; Zhang, W.; Zhai, X.; Hou, J. 2011 | Kuang, Q.; Xie, SY; Jiang, ZY; Zhang, XH; Xie, ZX; Huang, RB; Zheng, LS 2004).AND; Zhang, XH; Xie, ZX; Huang, RB; Zheng, LS 2004).AND; Zhang, XH; Xie, ZX; Huang, RB; Zheng, LS 2004).AND; Zhang, XH; Xie, ZX; Huang, RB; Zheng, LS 2004).

### Трещины графена / трещины

Другой способ обозначения того же явления — « графеновые трещины » или « графеновые трещины ». Это терминологическое различие очень тонкое, и в данном случае оно представляет собой использование исходного материала при растворении вакцины или в крови (в зависимости от происхождения образца на рисунке 1). Согласно (Vervuurt, RH; Kessels, WM; Bol, AA 2017), атомное осаждение слоев, также называемое ALD, вызванное исходным материалом и сорреагентом, приводит к появлению трещин и зерен на поверхности листов графена, как показано на рисунке 5. Края полученных трещин приподняты вверх, как описано выше.

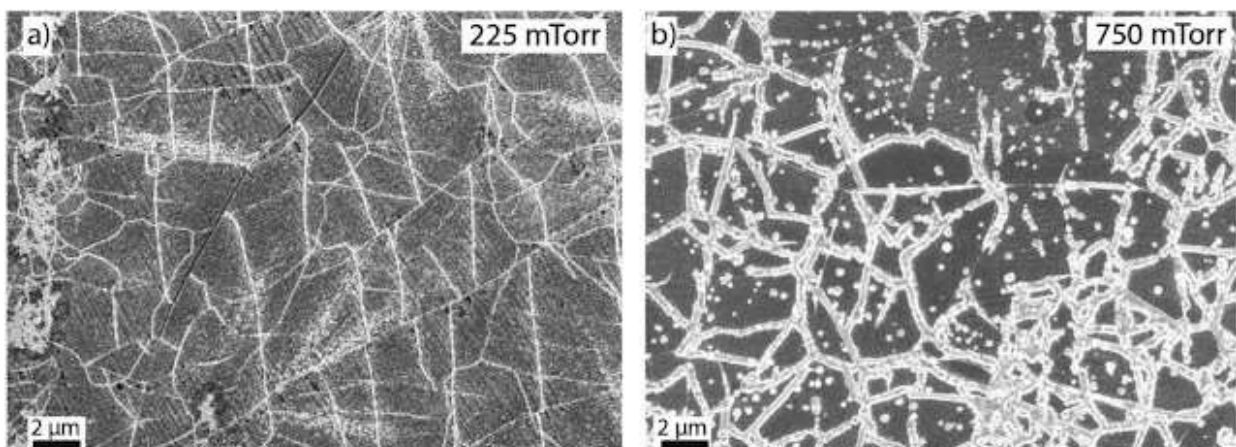


Рис. 5. Трещины графена, вызванные атомным осаждением слоев платины (Pt). (Vervuurt, RH; Kessels, WM; Bol, AA 2017)

В эксперименте на рисунке 5 наблюдается графен, выращенный методом химического осаждения из паровой фазы (CVD), на который был нанесен раствор частиц платины (Pt) методом атомно-слоевого осаждения (ALD). В качестве прекурсора использовался «*Me<sub>3</sub>CpPtMe<sub>3</sub>*», то есть «*триметил(метилциклопентадиенил)платина(IV)*» вместе с газом «*O<sub>2</sub>*» (кислородом). В то время как «*триметил(метилциклопентадиенил)платина(IV)*» является химическим соединением, используемым при осаждении платины, в статье упоминается кислород как существенный элемент для реакции графена и его растрескивания. Фактически, указывается, что «*Увеличение давления со-реагента (эффективное увеличение дозы O<sub>2</sub>) приводит к более селективному осаждению в направлении морщин и границ зерен графена, скорее всего, из-за диффузии (Pt)*». В случае образца крови на рисунке 1 кислород смог сыграть важную роль в отложении материалов на поверхности графена (наблюдаемые зерна или точки) и растрескивании графена в тромбоцитах, края которых выросли при этом отложении. Отложенный материал может быть частицами графена или другими металлами, которые еще не были различены. Можно приблизительно предположить, что образец крови, загрязненный графеном из вакцин, при контакте с окружающей средой и, следовательно, с газами, присутствующими в воздухе (кислород 21% и азот 78%), может быть ответственен за этот эффект растрескивания в условиях лабораторного анализа с помощью световой микроскопии. Не исключено, что растрескивание графена также происходит внутри тела, в крови и даже в артериях и кровеносных протоках, к которым он прикреплен, из-за неизбежной проводимости кислорода. Фактически (Elarolu, MS; Tabarraei, A. 2020) утверждают, что кислород разъедает и ослабляет структуру графеновых слоев, вызывая их растрескивание или образование трещин. Это объясняется следующим образом: «*Мы используем моделирование молекулярной динамики (МД) для изучения коррозионного растрескивания под напряжением (КРН) однослойных графеновых листов с трещинами на переднем крае. В моделировании рассматриваются два типа краевых трещин: один с краями стула и один с краями зигзага... коррозионная среда - молекулы O<sub>2</sub>... Чтобы понять механизм роста субкритических трещин во время КРН, мы подвергли графеновые листы воздействию молекул O<sub>2</sub> при деформации 0,047 и 0,076. Наши моделирования МД охватывают процесс хемосорбции между молекулами O<sub>2</sub> и предварительно напряженным графеновым листом. Молекулы кислорода реагируют с углеродными радикалами на краях вершины трещины и адсорбируются на поверхности графена. Атомные напряжения вблизи вершины трещины ослабевают из-за адсорбции молекулы O<sub>2</sub>. Наши результаты показывают, что реакция молекул O<sub>2</sub> с углеродными радикалами на вершине трещины может вызвать разрушение углеродных связей, что приводит к субкритическому растрескиванию*».

## Обратная связь

1. Согласно изображениям и документальным свидетельствам, полученным из научной литературы, изображение, полученное из образца крови вакцинированного человека, на рисунке 1, соответствует явлению растрескивания графена. Это может быть вызвано окислительным эффектом кислорода в образце крови, взятом для лабораторного анализа. Однако вполне вероятно, что это происходит и внутри организма, особенно в

тех областях, которые ближе к легким, из-за газообмена и большего присутствия кислорода. Растрескивание частично вызывает кристаллизацию графена, особенно когда есть несколько наложенных друг на друга атомных слоев, таким образом образуя многослойные графеновые пятна. Следует помнить, что в предыдущем посте обсуждалась проблема « [кристаллизованного графена](#) », который был идентифицирован по дендритам, которые образовались во фрактальном узоре. После идентификации было обнаружено, что они могут действовать как наномантенны из-за этой характеристики или особенности. Было также подтверждено, что кристаллизация может происходить при температуре тела (Fang, J .; Wang, D .; DeVault, CT; Chung, TF; Chen, YP; Boltasseva, A .; Kildishev, AV 2017). Нельзя исключать, что растрескивание графена может быть фазой, предшествующей кристаллизации в виде фрактала (однако эта крайность еще не подтверждена). В любом случае известно, что многослойные графеновые заплатки, полученные после растрескивания, обладают превосходными сверхпроводящими свойствами в терагерцовом диапазоне, будучи предпочтительнее однослойного графена, поскольку они могут лучше распространять сигналы наносвязи, даже если в их синтезе есть недостатки, как это соответствует оксиду графена.

2. Точки или зерна, наблюдаемые на рисунке 1, могут соответствовать отложению частиц углерода или других материалов, включая металлы или металлические сплавы, которые могли бы функционализировать или легировать графеновые заплатки. Однако сложно определить, какой тип материала может быть в таком случае. Известно, что края трещин заплатки могут расти с использованием метода ALD (атомно-слоевого осаждения), который полностью объясняет наблюдаемую морфологию. Твердые частицы в крови могут осаждаться на графеновом слое, особенно когда начинается процесс окисления.

## Примечания

1. Работа (Nair, RR; Blake, P .; Grigorenko, AN; Novoselov, KS; Booth, TJ; Stauber, T .; Geim, AK 2008) не только демонстрирует поглощательную способность видимой и инфракрасной длины волны, близкой к графену, она также демонстрирует и подтверждает, что графен прозрачен. Взаимодействие ближнего инфракрасного диапазона (БИК) в графене используется для запуска активации графена, высвобождения его фармакологического заряда или взаимодействия с другими компонентами. Статья, опубликованная в журнале Science, является ссылкой в этом вопросе, [получила почти 9000 цитаты](#) из других статей и связанных исследований.
2. Исследование (Lui, CH; Mak, KF; Shan, J .; Heinz, TF 2010) эмпирически демонстрирует люминесцентные свойства графена, эмиссия которого зависит от облучения ультракороткими лазерными импульсами 30 кадров в секунду. Оно считается справочной статьей по данной теме.
3. Статья (Ju, L .; Geng, B .; Horng, J .; Girit, C .; Martin, M .; Hao, Z .; Wang, F. 2011) является справочной в исследовании электромагнитных свойств и распространения сигналов в терагерцовом диапазоне частот в графене, в частности в графеновой плазмонике, закладывая основы для разработки антенн с высокой пропускной способностью и полосой пропускания. Статья [получила более 2600 цитирований](#). из непосредственно связанных работ.
4. Любопытно, что графеновые заплатки, или, что то же самое, треснувший графен, можно приобрести в специализированном магазине [graphene-supermarket.com](http://graphene-supermarket.com) в самых разных

формах и синтезах, как это можно увидеть в следующих продуктах: многослойный графен на никелевой фольге , проводящие графеновые листы , однослойный графен на медной фольге .

## Библиография

1. Буркхардт, А.; Ланг, В.; Берггольц, В. (2021). [Руэда де Пренса]. Причина смерти после вакцинации от COVID-19: Необъявленные компоненты вакцин против COVID-19. <https://pathologie-konferenz.de/en/>
2. Быков, А.Ю.; Русаков, П.С.; Образцова, ЭД; Танцы, ТВ (2013). Исследование структурной неоднородности слоев графена методом нелинейного оптического рассеяния. Письма в журнал «Оптика», 38(22), стр. 107-111. 4589-4 <https://doi.org/10.1364/ol.38.004589>
3. Тонкий, Р.; Севильяно, Дж. Л. (2021). Ночная пятая колонна - Программа 119. Пятая колонна. <https://odysee.com/@thesecondcolumn:8/DIRECTNIGHTTURNNODELA>  
ПЯТАЯ КОЛОННА-ПРОГРАММА119-:2
4. Элаполу, М.С.; Табарраи, А. (2020). Коррозионное растрескивание графена под напряжением. В: Международный конгресс и выставка машиностроения ASME (т. 84607, стр. B012T12A030). Американское общество инженеров-механиков. <https://doi.org/10.1115/IMECE2020-23842>
5. Фанг, Дж.; Ван, Д.; ДеВолт, Коннектикут; Чанг, ТФ; Чэнь, ЮП; Болтасева, А.; Кильдишев, А.В. (2017). Улучшенный графеновый фотодетектор с фрактальной метаповерхностью. Nano letters, 17(1), стр. 57-62. <https://doi.org/10.1021/acs.nanolett.6b03202> .
6. Gong, C.; He, K.; Lee, GD; Chen, Q.; Robertson, AW; Yoon, E.; Warner, JH (2016). Динамика гетерогенного зародышеобразования и роста графена из неорганических наночастиц на атомном уровне in situ. ACS nano, 10(10), стр. 9397-9410. <https://doi.org/10.1021/acsnano.6b04356>
7. Jul.; Geng, B .; Horng, J .; Girit, C .; Martin, M .; Hao, Z .; Wang, F. (2011). Графеновая плазмоника для перестраиваемых терагерцевых метаматериалов. Nature nanotechnology, 6 (10), стр. 630-634. <https://doi.org/10.1038/nnano.2011.146>
8. Kuang, Q.; Xie, SY; Jiang, ZY; Zhang, XH; Xie, ZX; Huang, RB; Zheng, LS (2004). Низкотемпературный сольвотермальный синтез смятых углеродных нанолитов. Carbon, 42 (8-9), стр. 1737-1741. <https://doi.org/10.1016/j.carbon.2004.03.008>
9. Ли, НС; Лю, WW; Чай, SP; Мохамед, AR; Азиз, А .; Кхе, CS; Хашим, U. (2017). Обзор механизмов синтеза, переноса, характеристики и роста однослойного и многослойного графена. RSC advances, 7 (26), стр. 15644-15693. <https://doi.org/10.1039/C7RA00392G>
10. Li, Z.; Wu, P.; Wang, C.; Fan, X.; Zhang, W.; Zhai, X.; Hou, J. (2011). Низкотемпературный рост графена методом химического осаждения из паровой фазы с использованием твердых и жидких источников углерода. ACS nano, 5 (4), стр. 3385-3390. <https://doi.org/10.1021/nn200854p>
11. Lui, CH; Мак, KF; Шан, J .; Heinz, TF (2010). Сверхбыстрая фотолюминесценция графена. Physical review letters, 105 (12), 127404. <https://doi.org/10.1103/PhysRevLett.105.127404>

12. Malesevic, A.; Vitchev, R.; Schouteden, K.; Volodin, A.; Zhang, L.; Van Tendeloo, G.; Van Haesendonck, C. (2008). Синтез малослойного графена с помощью химического осаждения из паровой фазы, усиленного микроволновой плазмой. *Нанотехнологии*, 19 (30), 305604.  
<https://doi.org/10.1088/0957-4484/19/30/305604>
13. Nair, RR; Blake, P .; Grigorenko, AN; Novoselov, KS; Booth, TJ; Stauber, T .; Geim, AK (2008). Постоянная тонкой структуры определяет визуальную прозрачность графена. *Science*, 320 (5881), стр. 1308-1308. <https://doi.org/10.1126/science.1156965>
14. Park, HJ; Meyer, J .; Roth, S .; Skákalová, V. (2010). Рост и свойства малослойного графена, полученного методом химического осаждения из паровой фазы. *Carbon*, 48 (4), стр. 1088-1094. <https://doi.org/10.1016/j.carbon.2009.11.030>
15. Тим Трут. (2021). Анализ вакцины и крови под микроскопом, представленный независимыми исследователями, юристами и врачом.  
<https://odysee.com/@TimTruth:b/microscope-vaccine-blood:9>
16. Vervuurt, RH; Kessels, WM; Bol, AA (2017). Атомно-слоевое осаждение для интеграции графеновых устройств. *Advanced Materials Interfaces*, 4 (18), 1700232.  
<https://doi.org/10.1002/admi.201700232>